

## SSNV183 - Essai de fluage avec le modèle VENDOCHAB

---

### Résumé :

Le modèle `VENDOCHAB`, reprend une formulation proposée par Chaboche. Il s'agit d'une formulation couplée qui couvre une loi élasto-viscoplastique avec écrouissage isotrope multiplicatif et une cinétique d'endommagement isotrope. Cette loi a été initialement développée pour prédire la durée de vie et la fissuration des aubes des turboréacteurs et plus généralement pour prévoir le temps de ruine des structures sollicitées à hautes températures.

Ce test de mécanique quasi-statique non linéaire permet de valider le modèle `VENDOCHAB` en 3D dans le cas d'une éprouvette soumise à un essai de fluage uniaxial isotherme. Les états de contrainte et de déformation sont homogènes dans l'éprouvette. Ce test valide l'intégration explicite de ce modèle. Les équations de cette formulation couplée sont décrites dans le fascicule de référence [R5.03.15].

La modélisation de l'éprouvette est réalisée avec un élément 3D à 8 nœuds (`HEXA8`).

## 1 Problème de référence

---

### 1.1 Géométrie

La géométrie est choisie volontairement simple, pour traduire un état de contrainte et de déformation homogène, comme c'est le cas en fluage uniaxial. Il s'agit ici d'un élément de volume représenté par un cube de côté  $3\text{ mm}$ . La modélisation est volumique et le fluage se fait à contrainte imposée.

### 1.2 Propriétés du matériau

Les caractéristiques sont les suivantes :

Mot clé ELAS :

- $YOUNG = 150000.0\text{ MPa}$
- $NU = 0.30$

Mot clé VENDOCHAB :

- $S_{VP} = 0.$
- $SEDVPI = 0.$
- $SEDVP2 = 0.$
- $N_{VP} = 12.$
- $M_{VP} = 9.$
- $K_{VP} = 2110.$
- $A_D = 3191.$
- $R_D = 6.3$
- $K_D = 14$

### 1.3 Conditions aux limites et chargements

$DZ = 0$  sur le côté inférieur ( $Z = 0$ )

$DY = 0$  sur le côté gauche ( $Y = 0$ )

$DX = 0$  sur le côté arrière ( $X = 0$ )

Pression de  $200\text{ MPa}$  imposée sur la surface supérieure, telle que :

$P = 0$  à  $t = 0\text{ s}$

$P = 200\text{ MPa}$  à  $t = 0.1\text{ s}$

$P = 200\text{ MPa}$  jusqu'à  $t = 2.5 \cdot 10^6\text{ s}$

Ceci correspond à un essai de fluage uniaxial sous un chargement constant de  $200\text{ MPa}$ .

### 1.4 Conditions initiales

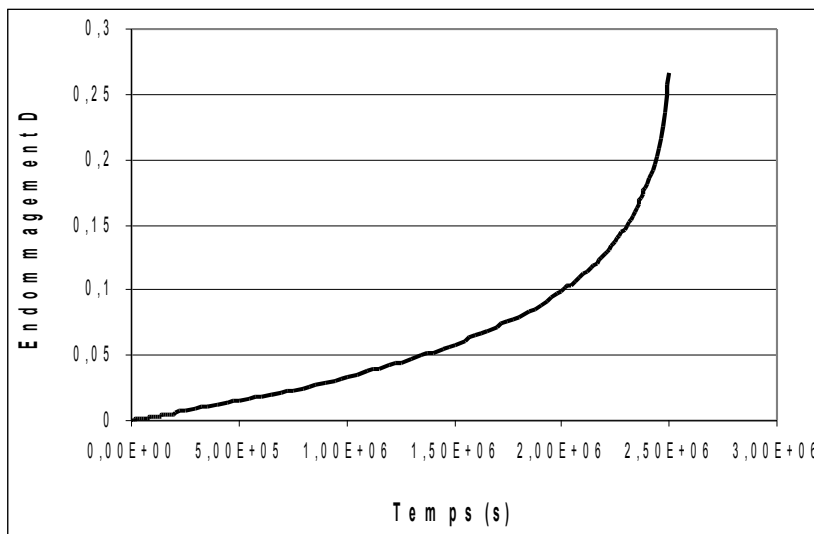
Contraintes et déformations nulles.

## 2 Solution de référence

### 2.1 Méthode de calcul

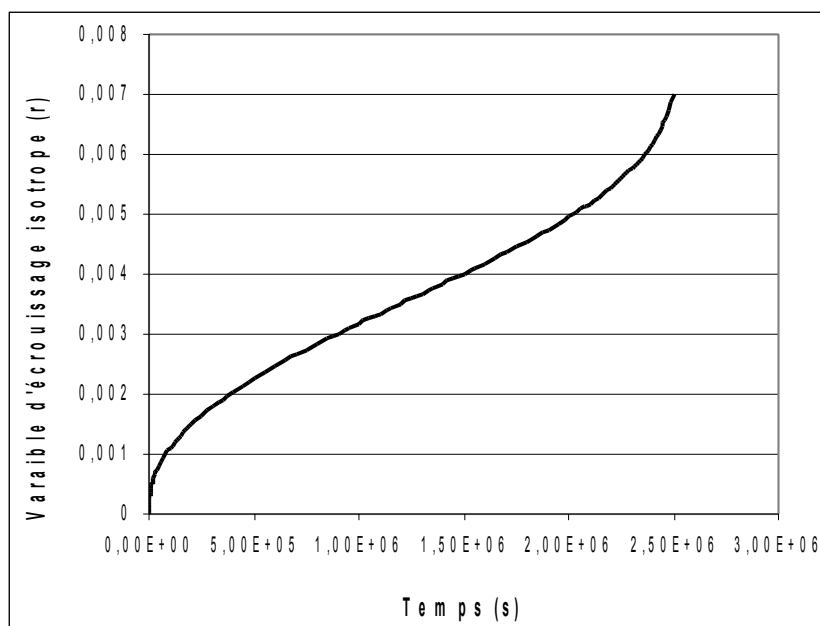
Solution analytique pour la variable d'endommagement  $D$  :

$$D(t) = 1 - \left( 1 - (1+k) \left( \frac{\sigma_0}{A} \right)^R t \right)^{\frac{1}{1+k}}$$



Solution analytique pour la variable d'écroissage isotrope viscoplastique,  $r$ , dans le cas d'un seuil  $\sigma_Y$  nul :

$$r(t) = \left[ \frac{(M+N)}{M(1+k-N)} \left( \frac{\sigma_0}{A} \right)^{-R} \left( \frac{\sigma_0}{K} \right)^N \left( 1 - \left( 1 - (1+k) \left( \frac{\sigma_0}{A} \right)^R t \right)^{\frac{1+k-N}{1+k}} \right) \right]^{\frac{M}{M+N}}$$



Dans les expressions précédentes,  $D$  est la variable d'endommagement correspondant à la variable interne  $V9$  et  $r$  est la variable d'écroissage viscoplastique multiplicatif correspondant à la variable interne  $V8$ .

On a également la correspondance suivantes, par rapports aux paramètres du mot clé VENDOCHAB :

$$\begin{aligned} N &= N_{VP} \\ M &= M_{VP} \\ K &= K_{VP} \\ A &= A_D \\ R &= R_D \\ k &= K_D \end{aligned}$$

## 2.2 Grandeurs et résultats de référence

Évolution de la variable d'endommagement,  $D$ , en fonction du temps. On teste cette valeur à différents instants :

| Instant | Référence      |
|---------|----------------|
| 520000  | 1.52596E-02    |
| 1000000 | 3.30676E-02    |
| 2000000 | 9.9465369E-02  |
| 2250000 | 1.37520763E-01 |
| 2500000 | 2.66018229E-01 |

Évolution de la variable d'écroissage isotrope viscoplastique,  $r$ , en fonction du temps. On teste cette valeur à différents instants :

| Instant | Référence    |
|---------|--------------|
| 520000  | 2.300147E-03 |
| 1000000 | 3.179469E-03 |
| 2000000 | 4.95103E-03  |
| 2250000 | 5.592847E-03 |
| 2500000 | 6.99749E-03  |

L'écart observé sur  $D$  pour  $t=2.510^6_s$  est dû à la très forte non linéarité de l'évolution de la variable d'endommagement.

## 2.3 Incertitudes sur la solution

Précision des codes

## 3 Modélisation A

### 3.1 Caractéristiques de la modélisation

La discrétisation en temps est assez fine :

```
( JUSQU_A = 2,          NOMBRE = 10 ),  
( JUSQU_A = 2.,        NOMBRE = 10 ),  
( JUSQU_A = 20.,       NOMBRE = 10 ),  
( JUSQU_A = 200.,      NOMBRE = 10 ),  
( JUSQU_A = 2000.,     NOMBRE = 10 ),  
( JUSQU_A = 20000.,    NOMBRE = 10 ),  
( JUSQU_A = 200000.,   NOMBRE = 10 ),  
( JUSQU_A = 1000000.,  NOMBRE = 30 ),  
( JUSQU_A = 1600000., NOMBRE = 30 ),  
( JUSQU_A = 1700000., NOMBRE = 40 ),  
( JUSQU_A = 1800000., NOMBRE = 40 ),  
( JUSQU_A = 1900000., NOMBRE = 40 ),  
( JUSQU_A = 2000000., NOMBRE = 40 ),  
( JUSQU_A = 2100000., NOMBRE = 40 ),  
( JUSQU_A = 2200000., NOMBRE = 40 ),  
( JUSQU_A = 2300000., NOMBRE = 40 ),  
( JUSQU_A = 2400000., NOMBRE = 40 ),  
( JUSQU_A = 2500000., NOMBRE = 40 ),
```

### 3.2 Caractéristiques du maillage

Nombre de nœuds : 8  
Nombre de mailles : 1 (HEXA8)

### 3.3 Grandeurs testées et résultats

Évolution de la variable d'endommagement,  $D$ , en fonction du temps. On teste cette valeur à différents instants :

| Instant | Référence      |
|---------|----------------|
| 520000  | 1.52596E-02    |
| 1000000 | 3.30676E-02    |
| 2000000 | 9.9465369E-02  |
| 2250000 | 1.37520763E-01 |
| 2500000 | 2.66018229E-01 |

Évolution de la variable d'écouissage isotrope viscoplastique,  $r$ , en fonction du temps. On teste cette valeur à différents instants :

| Instant | Référence    |
|---------|--------------|
| 520000  | 2.300147E-03 |
| 1000000 | 3.179469E-03 |
| 2000000 | 4.95103E-03  |
| 2250000 | 5.592847E-03 |
| 2500000 | 6.99749E-03  |

### 3.4 Remarques

L'écart observé sur  $D$  pour  $t=2.510^6_s$  est dû à la très forte non linéarité de l'évolution de la variable d'endommagement.

## 4 Synthèse des résultats

---

Les résultats obtenus avec *Code\_Aster* sont proches de la solution analytique de référence puisque l'écart avec la solution de référence est inférieur à 1.2% et généralement inférieur à 0.4 % avant la forte non-linéarité conduisant à la rupture finale.